

УДК 533.6

## **РАСЧЁТ СТАЦИОНАРНЫХ АЭРОДИНАМИЧЕСКИХ ХАРАКТЕРИСТИК ТОНКОЙ НЕСУЩЕЙ ПОВЕРХНОСТИ С УЧЁТОМ ЕЁ УПРУГИХ ДЕФОРМАЦИЙ**

Д. А. Болосов

Рассмотрен подход численного решения сопряжённой задачи моделирования пространственного безотрывного обтекания тонких несущих поверхностей сверхзвуковым потоком невязкого газа с определением напряжённо-деформированного состояния несущей поверхности под действием распределённой аэродинамической нагрузки. В результате решения сопряжённой задачи рассчитываются аэродинамические характеристики деформированной несущей поверхности.

аэродинамика; аэроупругость

В работе рассматривается модель расчёта стационарных аэродинамических характеристик изолированной несущей поверхности с учётом её упругих деформаций.

Данная задача относится к классу сопряженных и включает две задачи [1]:

– расчёт поля течения около несущей поверхности и распределённых нагрузок (давления);

– расчёт напряжённо-деформированного состояния несущей поверхности под действием распределённых нагрузок, определённых ранее.

Указанные выше задачи объединяются в итерационный алгоритм, критерием окончания расчёта можно выбрать максимальную или среднюю невязку по деформациям или аэродинамическим характеристикам между последовательными шагами решения.

### **1. Расчёт поля течения и распределённых нагрузок**

Для расчёта течения около несущей поверхности используется система стационарных уравнений Эйлера:

$$\frac{\partial E}{\partial x} + \frac{\partial F}{\partial y} + \frac{\partial G}{\partial z} = 0, \quad E = \begin{Bmatrix} \rho u \\ \rho u^2 + p \\ \rho uv \\ \rho uw \end{Bmatrix}; \quad F = \begin{Bmatrix} \rho v \\ \rho uv \\ \rho v^2 + p \\ \rho vw \end{Bmatrix}; \quad G = \begin{Bmatrix} \rho w \\ \rho uw \\ \rho vw \\ \rho w^2 + p \end{Bmatrix},$$

где  $t$  – время;

$\rho$  – плотность;

$(u, v, w)$  – проекции вектора скорости  $\vec{V}$  на оси декартовой системы координат  $(x, y, z)$ ;

$p$  – давление.



Рис. 1. Обобщённый алгоритм решения сопряжённой задачи

Уравнение энергии в стационарном случае представляет собой интеграл Бернулли и для совершенного газа с показателем адиабаты  $\gamma$  имеет вид:

$$\frac{\gamma}{\gamma - 1} \frac{p}{\rho} + \frac{u^2 + v^2 + w^2}{2} = const.$$

Допущение об отсутствии зон возвратного течения (отрывов) позволяет использовать «маршевый» метод [3] интегрирования с применением схемы Мак-Кормака [2] вдоль бортовой хорды (координаты  $x$ ):

$$\text{Шаг предиктор: } \hat{\mathbf{E}}_{j,k}^{i+1} = \mathbf{E}_{j,k}^i - \frac{\Delta x}{\Delta y} (\mathbf{F}_{j+1,k}^i - \mathbf{F}_{j,k}^i) - \frac{\Delta x}{\Delta z} (\mathbf{G}_{j,k+1}^i - \mathbf{G}_{j,k}^i),$$

$$\text{Шаг корректор: } \mathbf{E}_{j,k}^{i+1} = 0.5 \left[ \mathbf{E}_{j,k}^i + \hat{\mathbf{E}}_{j,k}^{i+1} - \frac{\Delta x}{\Delta y} (\hat{\mathbf{F}}_{j,k}^{i+1} - \hat{\mathbf{F}}_{j-1,k}^{i+1}) - \frac{\Delta x}{\Delta z} (\hat{\mathbf{G}}_{j,k}^{i+1} - \hat{\mathbf{G}}_{j,k}^{i+1}) \right].$$

Шаг по маршевой координате (координате  $x$ ) определяется из условия устойчивости КФЛ (условия Куранта-Фридрихса-Леви):

$$\Delta x = \max |\Delta x^B, \Delta x^C|, \quad \Delta x^B \leq Ku \frac{\Delta \eta}{\max |\lambda^B|}, \quad \Delta x^C \leq Ku \frac{\Delta \zeta}{\max |\lambda^C|},$$

где  $\Delta \eta$ ,  $\Delta \zeta$  – шаг сетки вдоль осей параметрических координат;

$\lambda^B$ ,  $\lambda^C$  – собственные значения матриц Якоби системы стационарных уравнений Эйлера, записанной в неконсервативной форме:

$$\mathbf{A} \frac{\partial \mathbf{V}}{\partial x} + \mathbf{B} \frac{\partial \mathbf{V}}{\partial \eta} + \mathbf{C} \frac{\partial \mathbf{V}}{\partial \zeta} = 0,$$

где  $\mathbf{V} = \begin{Bmatrix} \rho \\ u \\ v \\ w \\ p \end{Bmatrix}$  – вектор примитивных переменных.

Матрицы Якоби имеют следующий вид:

$$\mathbf{A} = \begin{bmatrix} u & \rho & 0 & 0 & 0 \\ 0 & u & 0 & 0 & \frac{1}{\rho} \\ 0 & 0 & u & 0 & 0 \\ 0 & 0 & 0 & u & 0 \\ 0 & \rho \alpha^2 & 0 & 0 & u \end{bmatrix},$$

$$\mathbf{B} = \begin{bmatrix} \eta_x u + \eta_y v & \eta_x \rho & \eta_y \rho & 0 & 0 \\ 0 & \eta_x u + \eta_y v & 0 & 0 & \eta_x \frac{1}{\rho} \\ 0 & 0 & \eta_x u + \eta_y v & 0 & \eta_y \frac{1}{\rho} \\ 0 & 0 & 0 & \eta_x u + \eta_y v & 0 \\ 0 & \eta_x \rho a^2 & \eta_y \rho a^2 & 0 & \eta_x u + \eta_y v \end{bmatrix},$$

$$\mathbf{C} = \begin{bmatrix} \zeta_x u + \zeta_z w & \zeta_x \rho & 0 & \zeta_z \rho & 0 \\ 0 & \zeta_x u + \zeta_z w & 0 & 0 & \zeta_x \frac{1}{\rho} \\ 0 & 0 & \zeta_x u + \zeta_z w & 0 & 0 \\ 0 & 0 & 0 & \zeta_x u + \zeta_z w & \zeta_z \frac{1}{\rho} \\ 0 & \zeta_x \rho a^2 & 0 & \zeta_x \rho a^2 & \zeta_x u + \zeta_z w \end{bmatrix}.$$

Приведём систему стационарных уравнений Эйлера в неконсервативной форме к виду:

$$\frac{\partial \mathbf{V}}{\partial x} + \mathbf{B}^* \frac{\partial \mathbf{V}}{\partial y} + \mathbf{C}^* \frac{\partial \mathbf{V}}{\partial z} = 0.$$

Матрицы  $\mathbf{B}^*$ ,  $\mathbf{C}^*$  определяются по зависимостям:

$\mathbf{B}^* = \mathbf{A}^{-1} \mathbf{B}$ ,  $\mathbf{C}^* = \mathbf{A}^{-1} \mathbf{C}$ , или в развёрнутом виде:

$$\mathbf{B}^* = \begin{bmatrix} \frac{\hat{v}}{u} & \rho \frac{\eta_x u - \hat{v}}{u^2 - a^2} & \eta_y \rho \frac{u}{u^2 - a^2} & 0 & -\frac{\eta_x u - \hat{v}}{u(u^2 - a^2)} \\ 0 & -\frac{\eta_x a^2 - u \hat{v}}{u^2 - a^2} & -\frac{\eta_y a^2}{u^2 - a^2} & 0 & \frac{\eta_x u - \hat{v}}{\rho(u^2 - a^2)} \\ 0 & 0 & \frac{\hat{v}}{u} & 0 & \frac{\eta_y}{\rho u} \\ 0 & 0 & 0 & \frac{\hat{v}}{u} & 0 \\ 0 & \rho a^2 \frac{\eta_x u - \hat{v}}{u^2 - a^2} & \eta_y \rho a^2 \frac{u}{u^2 - a^2} & 0 & -\frac{\eta_x a^2 - u \hat{v}}{u^2 - a^2} \end{bmatrix},$$

$$\mathbf{C}^* = \begin{bmatrix} \frac{\hat{w}}{u} & \rho \frac{\zeta_x u - \hat{w}}{u^2 - a^2} & 0 & \zeta_z \rho \frac{u}{u^2 - a^2} & -\frac{\zeta_x u - \hat{w}}{u(u^2 - a^2)} \\ 0 & -\frac{\zeta_x a^2 - u \hat{w}}{u^2 - a^2} & 0 & -\frac{\zeta_z a^2}{u^2 - a^2} & \frac{\zeta_x u - \hat{w}}{\rho(u^2 - a^2)} \\ 0 & 0 & \frac{\hat{w}}{u} & 0 & 0 \\ 0 & 0 & 0 & \frac{\hat{w}}{u} & \frac{\zeta_z}{\rho u} \\ 0 & \rho a^2 \frac{\zeta_x u - \hat{w}}{u^2 - a^2} & 0 & \zeta_z \rho a^2 \frac{u}{u^2 - a^2} & -\frac{\zeta_x a^2 - u \hat{w}}{u^2 - a^2} \end{bmatrix}$$

где  $\hat{v} = \eta_x u + \eta_y v$ ,  $\hat{w} = \zeta_x u + \zeta_z w$ .

Найдём собственные значения матриц  $\mathbf{B}^*, \mathbf{C}^*$ , используя зависимости

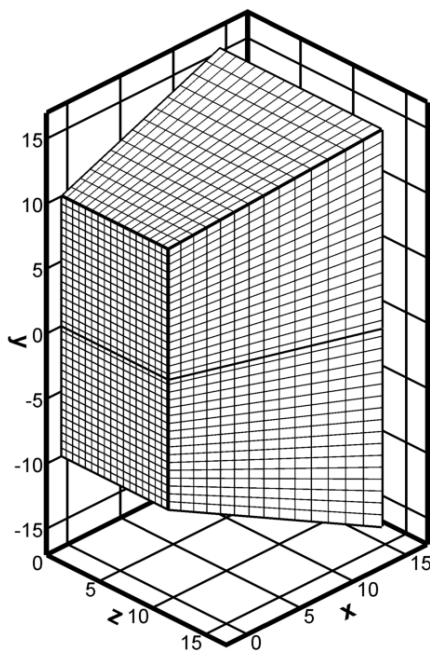
$|\mathbf{B}^* - \lambda^B \mathbf{E}| = 0$ ,  $|\mathbf{C}^* - \lambda^C \mathbf{E}| = 0$ , в результате получим:

$$\lambda_{1,2,3}^B = \eta_x + \eta_y \frac{v}{u}, \quad \lambda_{4,5}^B = \eta_x + \eta_y \frac{uv \pm a\sqrt{v^2 + u^2 - a^2}}{u^2 - a^2};$$

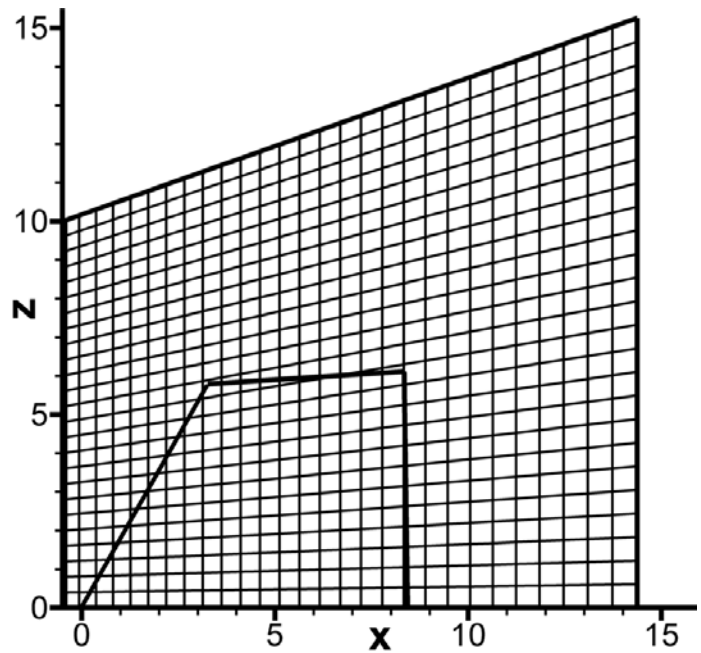
$$\lambda_{1,2,3}^C = \zeta_x + \zeta_z \frac{w}{u}, \quad \lambda_{4,5}^C = \zeta_x + \zeta_z \frac{uw \pm a\sqrt{w^2 + u^2 - a^2}}{u^2 - a^2}.$$

В данной задаче несущая поверхность полагается бестелесной (имеющей нулевую толщину профиля). В плоскости  $x = const$  строится прямоугольная сетка, границы которой удаляются на необходимое расстояние, исключая влияние последних. Для возможности рассмотрения несущих поверхностей различной формы в плане геометрия несущей поверхности не выделяется, а требуемая точность вычисления суммарных (аэродинамических характеристик – АДХ) и давлений на наветренной и подветренной стороне достигается заданием требуемого количества узлов вдоль осей  $z$  и  $y$ . В соответствии с этим граничное условие «непротекания» [3] ( $\vec{V} \cdot \vec{n}_n = 0$ , где  $\vec{V}$  – вектор скорости,  $\vec{n}_n$  – единичная нормаль к поверхности крыла) определяется только в тех узлах, которые локализованы контуром несущей поверхности.

В результате «маршевой» процедуры решения исходной системы уравнений получаем область, показанную на рис. 2а.



а) общий вид сетки



б) сетка в плоскости несущей поверхности ( $y = 0$ )

Рис. 2. Сетка в результате решения

Для верификации изложенного метода рассмотрим прямоугольную несущую поверхность (передняя и задняя кромки образованы линиями  $x=0$  и  $x=10$  соответственно, а концевая хорда – линией,  $z=10$  линия симметрии в данном случае  $z=0$ ) с удлинением  $\lambda=2$  (рис. 3а), расположенную под углом атаки  $\alpha=5^\circ$  в потоке с числом Маха  $M=2$ .

Согласно теории идеальной жидкости на поверхности такого крыла образуется две зоны ( $I$ ,  $II$ ). Зона  $I$ , расположенная вне характеристического конуса (конуса Маха), характеризуется постоянной разностью давлений, определяемой зависимостью:

$$\Delta p = 2u^2 \cdot \rho \cdot \alpha \cdot \operatorname{tg} \beta,$$

где  $u$  – скорость набегающего потока;

$\rho$  – плотность набегающего потока;

$\alpha$  – угол атаки;

$\beta$  – угол при вершине характеристического конуса.

Зона  $II$  ограничена конусом Маха (рис. 2а) с вершиной в начале концевой хорды.

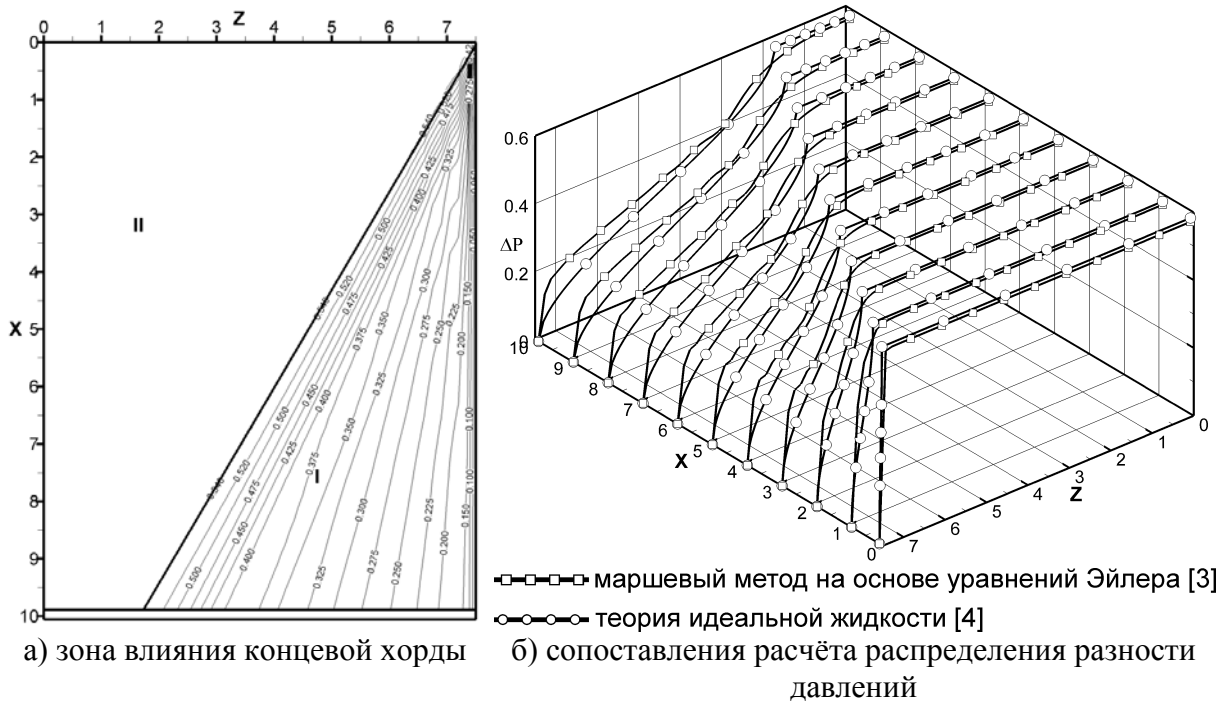


Рис. 3. Разность давлений наветренной и подветренной стороны консоли прямоугольной несущей поверхности ( $\lambda = 2, \alpha = 5^\circ, M = 2$ )

Рассматривая течение около треугольного крыла, выделяют два основных случая: обтекание крыла с дозвуковой передней кромкой (рис. 4) и сверхзвуковой передней кромкой (рис. 5).

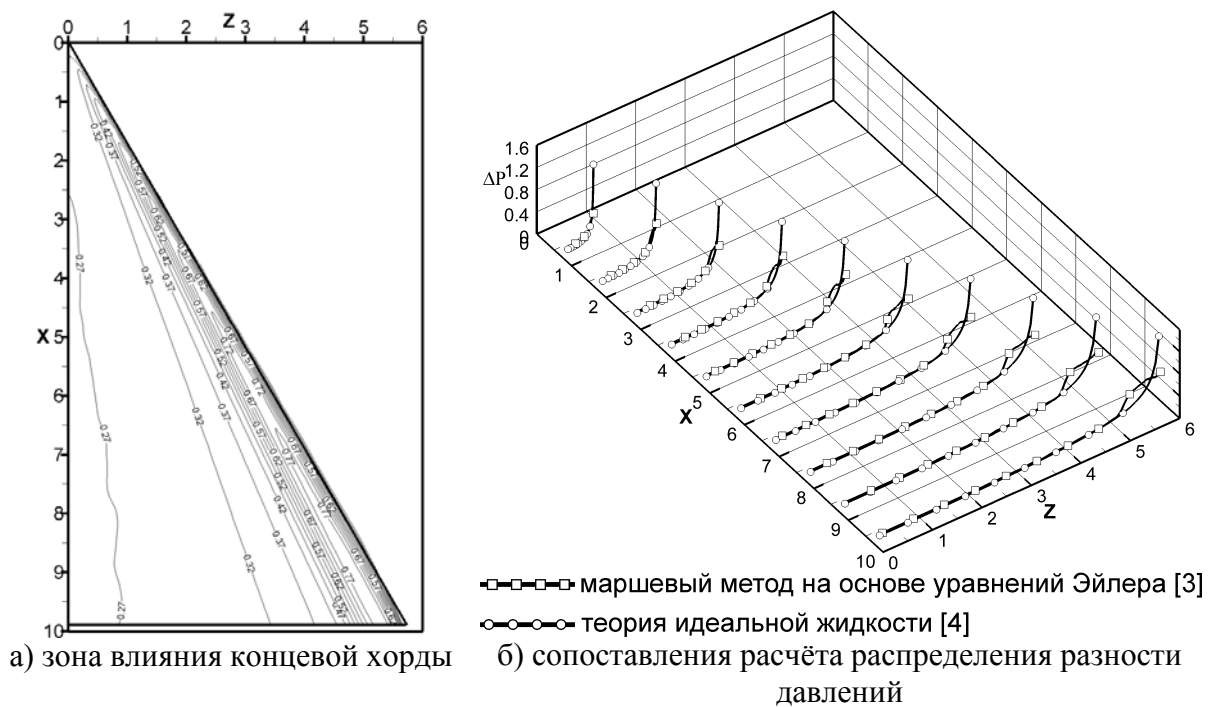
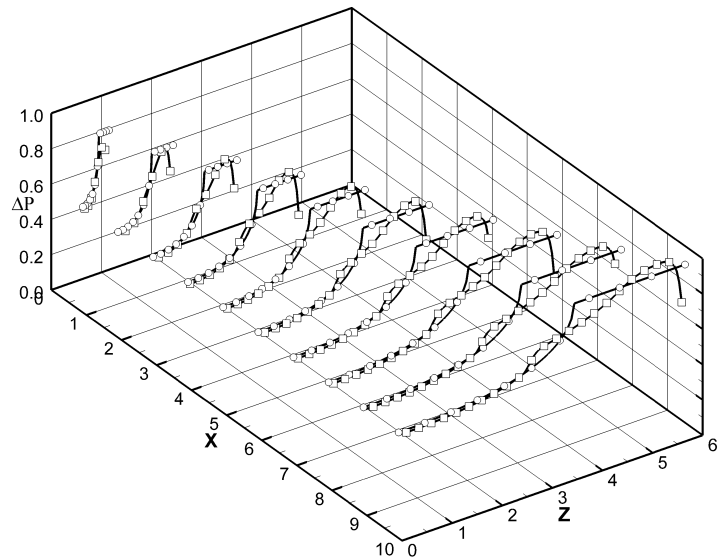
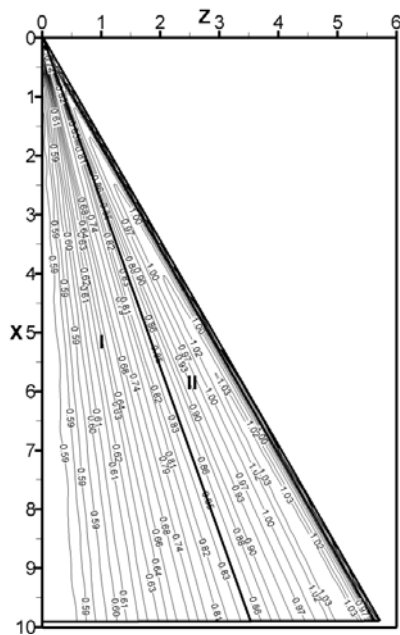


Рис. 4. Разность давлений наветренной и подветренной стороны консоли треугольной несущей поверхности с дозвуковой передней кромкой ( $\chi_{ПК} = 60^\circ, \alpha = 5^\circ, M = 1.5$ )



а) зона влияния концевой хорды

б) сопоставления расчёта распределения разности давлений  
 —□—□— маршевый метод на основе уравнений Эйлера [3]  
 ○—○—○— теория идеальной жидкости [4]

Рис. 5. Разность давлений наветренной и подветренной стороны консоли треугольной несущей поверхности со сверхзвуковой передней кромкой ( $\chi_{ПК} = 60^\circ$ ,  $\alpha = 5^\circ$ ,  $M = 3$ )

В случае дозвуковой передней кромки на крыле имеется всего одна зона, в которой давление возрастает от корневой хорды к передней кромке (рис. 4б). В случае несущей поверхности со сверхзвуковой передней кромкой (рис. 5), как и на прямоугольном крыле, образуется две зоны: зона II, располагающаяся между передней кромкой и границей конуса Маха, характеризуется постоянным давлением, определяемым по зависимости, указанной выше. Распределение давления в зоне I аналогично случаю несущей поверхности с дозвуковой передней кромкой.

Были проведены систематические расчёты прямоугольных несущих поверхностей. Результаты расчётов и экспериментальные данные [4] представлены на рис. 6. Расчёты по углу атаки проводились с шагом  $0,5^\circ$ . При использовании сеток с количеством узлов в сечении по продольной координате  $51 \times 51$  и больше результаты по интегральным аэродинамическим характеристикам практически не изменяются.

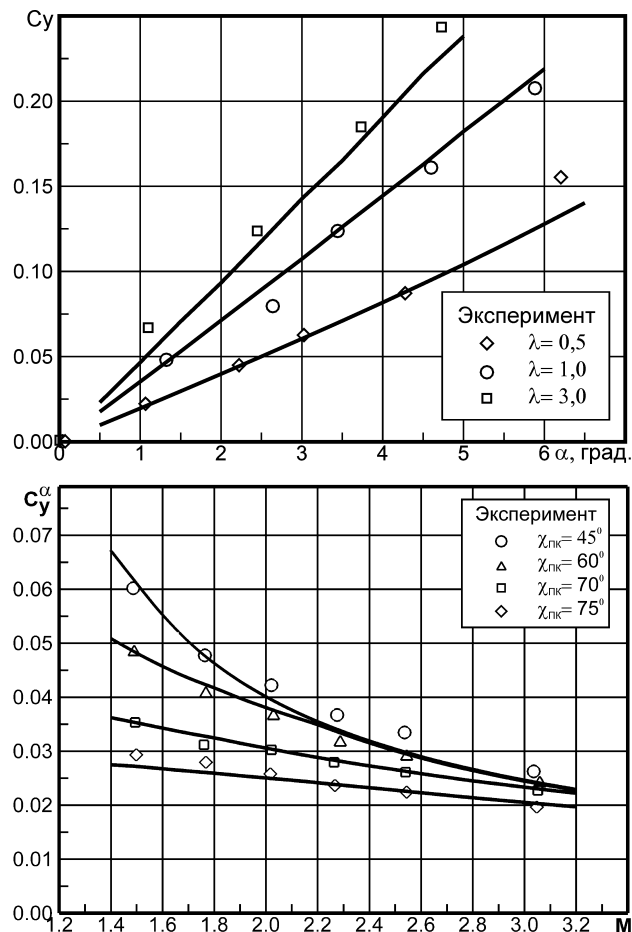


Рис. 6. Сопоставление с известными экспериментальными данными [5] результатов расчёта прямоугольных несущих поверхностей для числа Маха  $M = 1,7$  (маркеры соответствуют экспериментальным данным, сплошные линии – результатам расчётов)

Рассмотренный метод позволяет проводить расчёты АДХ несущих поверхностей различной формы в плане для диапазона чисел Маха  $M = 1.5 - 5$  и углов атаки  $\alpha = 0 - 10^\circ$ . По результатам расчета получаются не только суммарные АДХ, но и распределённые нагрузки.

## 2. Расчёт напряжённо-деформированного состояния несущей поверхности под действием распределённых нагрузок

Для упрощения расчёта напряжённо-деформированного состояния и сведения его к двумерному представим несущую поверхность как тонкую пластину и введём допущения (гипотезы Кирхгоффа) [6]:

- неизменность нормалей; нормали к срединной поверхности при изгибе пластины не искривляются, а остаются перпендикулярными к ней;

– малость нормальных напряжений в площадках, параллельных срединной поверхности;

– малость толщины пластины по сравнению с её размерами;

– материал пластины однородный, изотропный и подчиняется закону Гука.

В соответствии с указанными выше допущениями напряжённо-деформированное состояние пластины описывается прогибом  $\omega$  её срединной поверхности, который определяется из дифференциального уравнения:

$$\nabla\nabla\omega = \frac{p}{D} \text{ или } \frac{\partial^4\omega}{\partial x^4} + 2\frac{\partial^4\omega}{\partial x^2\partial z^2} + \frac{\partial^4\omega}{\partial z^4} = \frac{p}{D}, \quad D = \frac{Eh^3}{12(1-\mu^2)},$$

где  $\omega$  – прогиб;

$p$  – давление несущей поверхности;

$D$  – изгибная жесткость пластины;

$h$  – толщина пластины;

$\mu$  – коэффициент Пуассона;

$E$  – модуль Юнга.

Граничные условия для жёстко закреплённой по бортовой хорде несущей поверхности имеют вид:

$$\omega = 0 \text{ и } \frac{\partial\omega}{\partial n} = 0 \text{ – для жёстко закреплённого края;}$$

$$\frac{\partial^2\omega}{\partial n^2} + \mu \frac{\partial^2\omega}{\partial s^2} = 0 \text{ и } \frac{\partial}{\partial n} \left[ \frac{\partial^2\omega}{\partial n^2} + (2-\mu) \frac{\partial^2\omega}{\partial s^2} \right] = \frac{p}{D} \text{ – для свободного края.}$$

Указанное выше уравнение решается методом конечных элементов [7], для чего несущая поверхность разбивается на заранее заданное количество треугольников, число которых определяется необходимой точностью получаемых результатов.

Перемещения пластины можно представить в виде:

$$\begin{aligned} \omega = & \beta_1 L_1 + \beta_2 L_2 + \beta_3 L_3 + \beta_4 \left( L_1^2 L_2 + \frac{1}{2} L_1 L_2 L_3 \right) + \beta_5 \left( L_1^2 L_3 + \frac{1}{2} L_1 L_2 L_3 \right) + \\ & + \beta_6 \left( L_2^2 L_1 + \frac{1}{2} L_1 L_2 L_3 \right) + \beta_7 \left( L_2^2 L_3 + \frac{1}{2} L_1 L_2 L_3 \right) + \beta_8 \left( L_3^2 L_1 + \frac{1}{2} L_1 L_2 L_3 \right) + \\ & + \beta_9 \left( L_3^2 L_2 + \frac{1}{2} L_1 L_2 L_3 \right), \end{aligned}$$

где  $L_1, L_2, L_3$  –  $L$  – координаты треугольного элемента.

В нашем случае для треугольного элемента связь между декартовыми и  $L$  – координатами имеет следующий вид:

$$L_1 = \frac{a_1 + b_1x + c_1y}{2\Delta}, L_2 = \frac{a_2 + b_2x + c_2y}{2\Delta}, L_3 = \frac{a_3 + b_3x + c_3y}{2\Delta}, \Delta = \frac{1}{2} \begin{vmatrix} 1 & x_1 & y_1 \\ 1 & x_2 & y_2 \\ 1 & x_3 & y_3 \end{vmatrix},$$

$$a_1 = x_2y_3 - x_3y_2,$$

$$b_1 = y_2 - y_3,$$

$$c_1 = x_3 - x_2,$$

где  $\Delta$  - площадь треугольного элемента,;

$a_1, b_1, c_1$ , коэффициенты для вершины 1 треугольного элемента, коэффициенты для вершин 2 и 3 получаются циклической перестановкой индексов.

После подстановки узловых значений:

$$\omega_i, \theta x_i = -\left(\frac{\partial \omega}{\partial y}\right)_i \text{ и } \theta y_i = -\left(\frac{\partial \omega}{\partial x}\right)_i,$$

где  $\theta x_i, \theta y_i$  - углы поворота в узле  $i$  вокруг осей  $x$  и  $y$  соответственно.

Окончательно функцию формы для узла (вершины) 1 треугольного элемента можно записать в следующем виде:

$$[N_1]^T = \begin{bmatrix} L_1 + L_1^2L_2 - L_1^2L_3 - L_1L_3^2 \\ b_3 \left( L_1^2L_2 + \frac{1}{2}L_1L_2L_3 \right) - b_2 \left( L_3L_1^2 + \frac{1}{2}L_1L_2L_3 \right) \\ c_3 \left( L_1^2L_2 + \frac{1}{2}L_1L_2L_3 \right) - c_2 \left( L_3L_1^2 + \frac{1}{2}L_1L_2L_3 \right) \end{bmatrix}.$$

Функции для узлов 2 и 3 получаются циклической перестановкой индексов. На рис. 7 изображена геометрия несущей поверхности и её разбиение на конечно-элементную сетку.

На рис. 8, 9 представлен пример расчёта напряжённо-деформированного состояния для данной жёстко закреплённой по бортовой ходе несущей поверхности постоянной толщины 0,65 мм, нагруженной равномерно распределённым давлением 0,1 МПа.

УЗЛОВ = 502  
ЭЛЕМЕНТОВ = 928

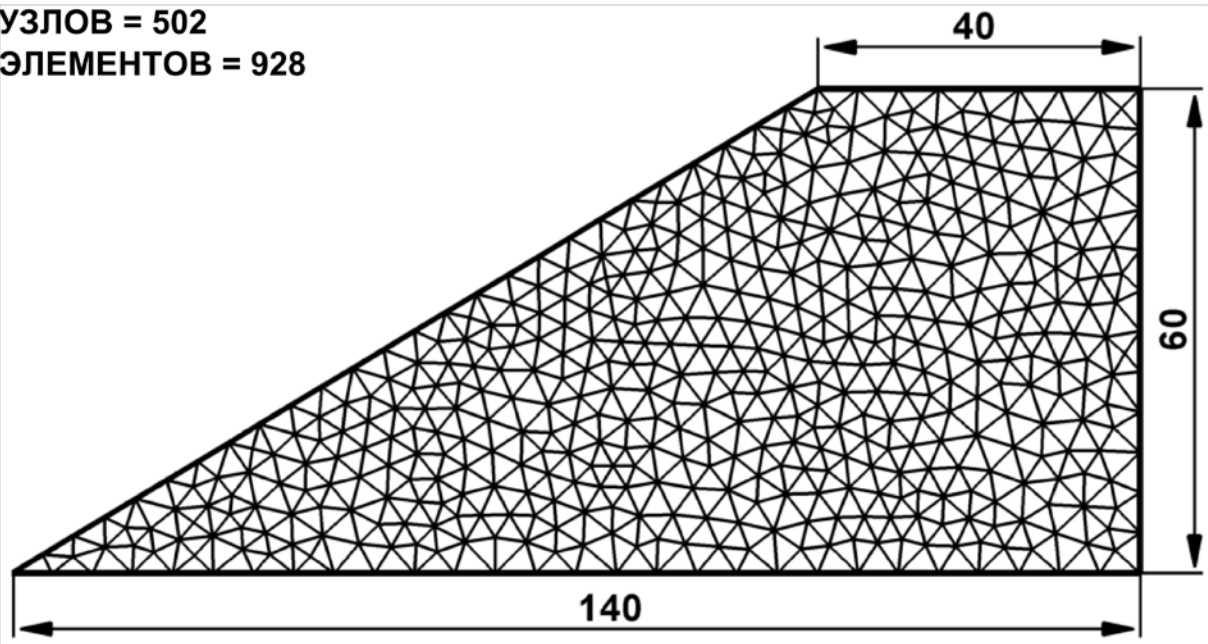


Рис. 7. Геометрия несущей поверхности и конечно-элементная сетка

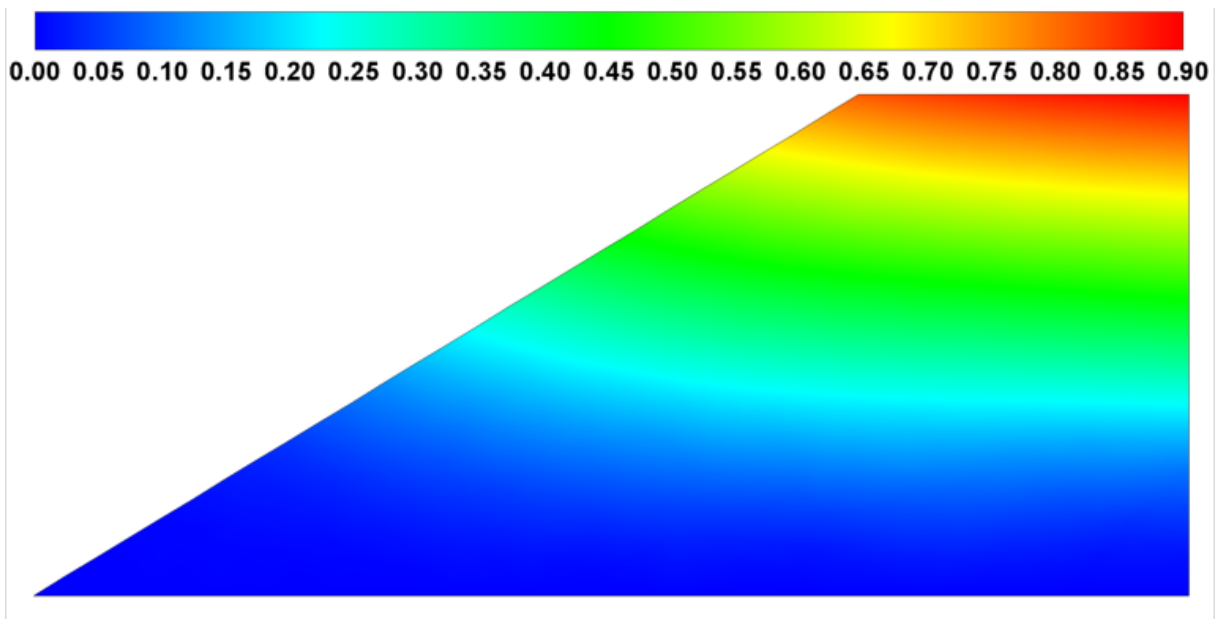


Рис. 8. Распределение прогиба несущей поверхности (см) от равномерно распределённого давления 0,1 МПа

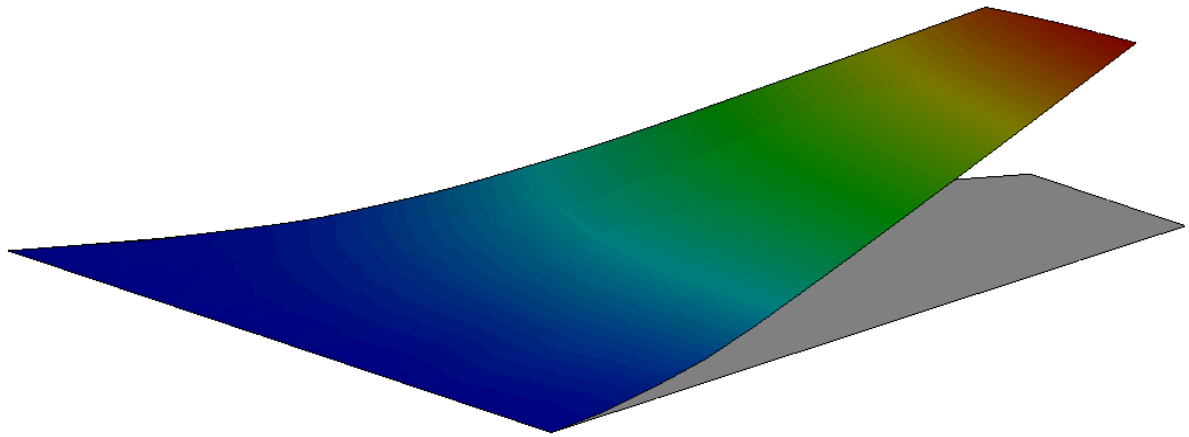


Рис. 9. Деформированная несущая поверхность

### 3. Результаты расчёта стационарных АДХ несущей поверхности с учётом её деформаций

Расчёт аэродинамических характеристик проводился для числа Маха  $M=2$  в диапазоне углов атаки  $0 - 12^\circ$  для геометрии, изображённой на рис. 7.

На рис. 10 представлены основные аэродинамические характеристики несущей поверхности.

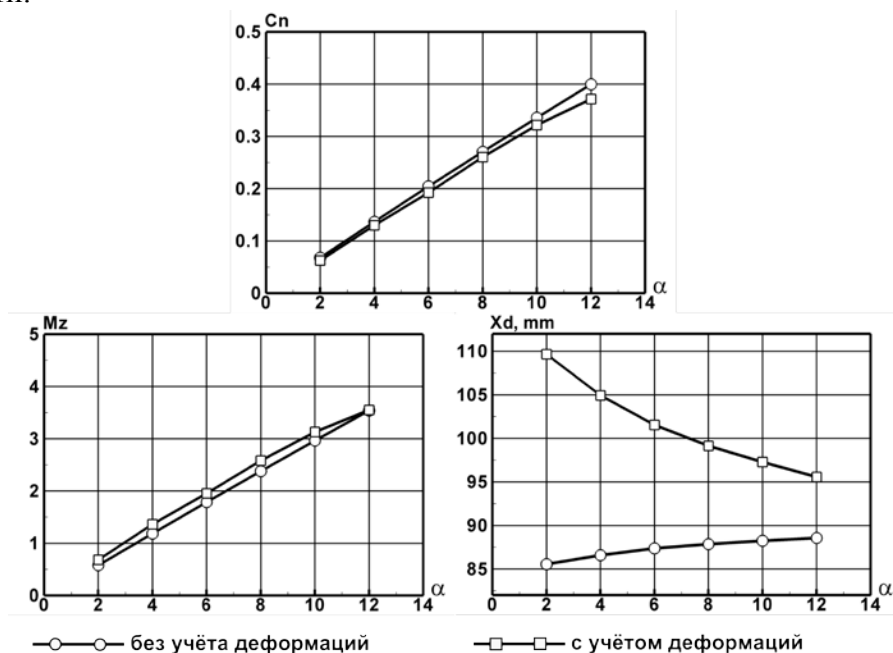


Рис. 10. Аэродинамические характеристики несущей поверхности в зависимости от угла атаки (коэффициент подъёмной силы  $C_n$ , коэффициент момента тангажа  $M_z$ , центр давления  $X_d$ )

Как видно из рис. 10, деформации несущей поверхности оказывают влияние на её аэродинамические характеристики, а следовательно, и на аэродинамические характеристики летательного аппарата в целом.

## Библиографический список

1. Raymond E. Gordnier, Miguel R. Visbal. Computation of three-dimensional nonlinear panel flutter. AIAA A0116437 January 2001.
2. Андерсон Д., Таннехилл Дж., Плетчер Р. Вычислительная гидромеханика и теплообмен: В 2-х т. Т. 2: Пер. с англ. – М.: Мир, 1990. – 392 с.
3. Аэродинамика ракет: в 2-х Кн. 2. Пер. с англ./Под ред. М. Хемша, Дж. Нилсена. – М.: Мир, 1989. – 512 с.
4. Красильщикова Е. А. Тонкое крыло в сжимаемом потоке. – 2-е изд., доп. – М.: Наука. Физматлит, 1986. – 288 с.
5. Аэродинамика, устойчивость и управляемость сверхзвуковых самолётов / Под ред. Г. С. Бюшгенса. – М.: Наука. Физматлит, 1998. – 816 с.
6. Бояршинов С. В. Основы строительной механики машин: Учебное пособие. – М.: Машиностроение, 1973. – 456 с.
7. Зенкевич О. Метод конечных элементов в технике. – М.: Мир, 1975. – 543 с.

Болосов Дмитрий Александрович, инженер-исследователь

ГУП "Конструкторское бюро приборостроения,"

300001 г. Тула, ул. Щегловская засека, д. 59, т. (4872) 46-94-64, e-mail kbkedr@tula.net